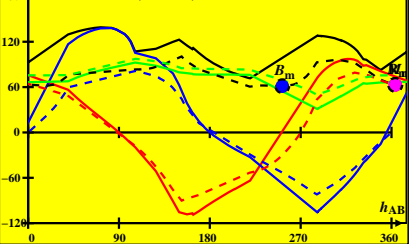


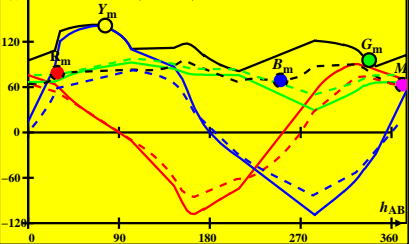
**CIE-Daten für antichromatische Optimalfarben von maximalem Buntwert für D65,  $Y_{w,10}=88,6$ ,  $Y_m=520$  770,  $B_m=380$  520**

↑ CIELAB-Helligkeit  $L^*$  und radiale Buntheit  $a^*$ ,  $b^*$ ,  $C^*_{ab}$  im Bereich  $Y=0,0$  bis  $88,6$



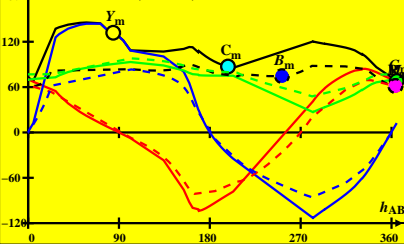
**CIE-Daten für antichromatische Optimalfarben von maximalem Buntwert für D50,  $Y_{m,10}=88,6$ ,  $Y_m=520\ 770$ ,  $B_m=380\ 520$**

**↑ CIELAB-Helligkeit  $L^*$  und radiale Buntheit  $a^*$ ,  $b^*$ ,  $C^*_{ab}$  im Bereich  $Y=0,0$  bis  $88,6$**



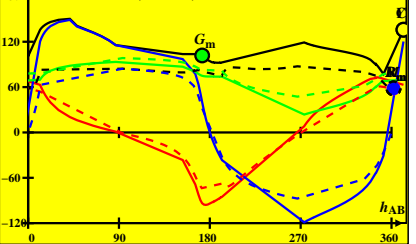
**CIE-Daten für antichromatische Optimalfarben von maximalem Buntwert für P40,  $Y_{m,10}=88,6$ ,  $Y_m=520\ 770$ ,  $B_m=380\ 520$**

↑ CIELAB-Helligkeit  $L^*$  und radiale Buntheit  $a^*$ ,  $b^*$ ,  $C^*_{ab}$  im Bereich  $Y=0,0$  bis  $88,6$



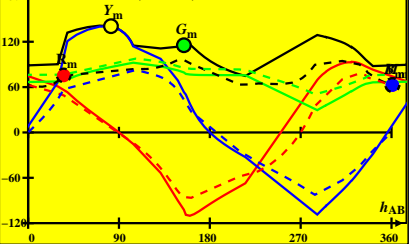
**CIE-Daten für antichromatische Optimalfarben von maximalem Buntwert für A00,  $Y_{m,10}=88,6$ ,  $Y_m=520\ 770$ ,  $B_m=380\ 520$**

↑ CIELAB-Helligkeit  $L^*$  und radiale Buntheit  $a^*$ ,  $b^*$ ,  $C^*_{ab}$  im Bereich  $Y=0,0$  bis  $88,6$



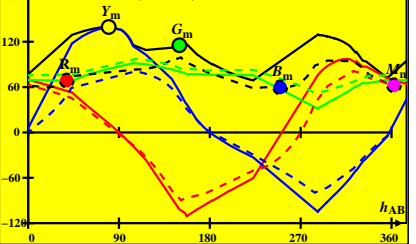
**CIE-Daten für antichromatische Optimalfarben von maximalem Buntwert für E00,  $Y_{m,10}=88,6$ ,  $Y_m=520\ 770$ ,  $B_m=380\ 520$**

**↑ CIELAB-Helligkeit  $L^*$  und radiale Buntheit  $a^*$ ,  $b^*$ ,  $C^*_{ab}$  im Bereich  $Y=0,0$  bis  $88,6$**



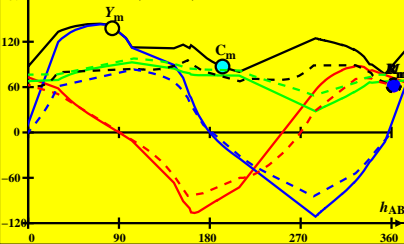
**CIE-Daten für antichromatische Optimalfarben von maximalem Buntwert für C00,  $Y_{m,10}=88,6$ ,  $Y_m=520\ 770$ ,  $B_m=380\ 520$**

**↑ CIELAB-Helligkeit  $L^*$  und radiale Buntheit  $a^*$ ,  $b^*$ ,  $C^*_{ab}$  im Bereich  $Y=0,0$  bis  $88,6$**



**CIE-Daten für antichromatische Optimalfarben von maximalem Buntwert für P00,  $Y_{m,10}=88,6$ ,  $Y_m=520\ 770$ ,  $B_m=380\ 520$**

↑ CIELAB-Helligkeit  $L^*$  und radiale Buntheit  $a^*$ ,  $b^*$ ,  $C^*_{ab}$  im Bereich  $Y=0,0$  bis  $88,6$



**CIE-Daten für antichromatische Optimalfarben von maximalem Buntwert für Q00,  $Y_{m,10}=88,6$ ,  $Y_m=520\ 770$ ,  $B_m=380\ 520$**

↑ CIELAB-Helligkeit  $L^*$  und radiale Buntheit  $a^*$ ,  $b^*$ ,  $C^*_{ab}$  im Bereich  $Y=0,0$  bis  $88,6$

